

УДК 536.3+536.42

## РЕШЕНИЕ КЛАССИЧЕСКОЙ ОДНОФАЗНОЙ ЗАДАЧИ СТЕФАНА В МОДИФИЦИРОВАННОЙ ПОСТАНОВКЕ ДЛЯ ПОЛУПРОЗРАЧНЫХ СРЕД

С. Д. Слепцов, Н. А. Рубцов

Институт теплофизики им. С. С. Кутателадзе СО РАН, 630090 Новосибирск  
E-mail: sleptsov@itp.nsc.ru

Проведено численное моделирование классической задачи Стефана в модифицированной постановке для полупрозрачной серой среды. Получены поля температур, поле результирующего радиационного потока излучения, исследованы динамика смещения плоскости раздела фаз и эволюция роста температуры на черной левой границе образца при различных значениях степени черноты правой облучаемой границы.

Ключевые слова: фазовый переход, однофазная задача Стефана, радиационно-кондуктивный теплообмен, серая среда, коэффициент отражения, степень черноты.

**Введение.** Однофазная задача Стефана является частным случаем двухфазной задачи Стефана, в которой температура одной из фаз тождественно равна постоянной температуре фазового перехода [1]. Очевидно, что в рамках классической задачи в условии Стефана на границе фаз отсутствует тепловой поток со стороны фазы с постоянной температурой. В действительности по обе стороны от границы фаз существует перенос тепловой энергии, поэтому физические модели однофазной задачи Стефана не удовлетворяют указанным условиям. Задачи в такой постановке рассмотрены в работах [2, 3], в которых численно моделируются процессы нагрева и плавления однородных полупрозрачных пластин за счет одностороннего внешнего радиационно-конвективного (кондуктивного) подвода тепловой энергии.

В работе [2] границы пластины предполагаются абсолютно черными, а условие Стефана в явном виде не учитывает перепад тепловых потоков на границе фаз. При этом согласно условиям задачи результирующий (радиационно-кондуктивный) тепловой поток на внешней границе со стороны расплава является заданным.

В работе [3] границы пластины на стадии нагрева предполагаются непоглощающими, частично отражающими, пропускающими. Условие Стефана в явном виде учитывает перепад результирующих тепловых потоков на границе фаз. При этом граница фазового перехода становится полупрозрачной, вследствие чего значение коэффициента поглощения (излучения) является переменным, значение отражательной способности — постоянным. Если при численной реализации задачи в работе [2] затруднений не возникало, то в работе [3] при решении задачи выявлены ограничения, зависящие от значений поглощательной (излучательной) способности границы фазового перехода.

---

Работа выполнена при финансовой поддержке Российского фонда фундаментальных исследований (код проекта 12-08-00154-а).

В [4] использовалось классическое приближение задачи Стефана [1]. На основе теории классической задачи Стефана на границе раздела фаз в [4] предполагалось, что тепловая энергия, выделяющаяся на фронте фазового превращения за счет излучения, компенсируется тепловой энергией испаряющегося вещества. При решении задачи ограничение для различных степеней черноты поверхностей, а также перегрев в твердой конденсированной фазе отсутствуют.

В данной работе продолжено исследование классического подхода к решению однофазной задачи Стефана.

**Постановка задачи.** Рассматриваются нагрев и последующее плавление бесконечно-плоскопараллельного образца из полупрозрачной серой среды с коэффициентом объемного поглощения излучения  $\alpha$  и теплопроводностью  $\lambda$ . Левая граница плоского образца является черной ( $A_1 = 1$ ), правая — прозрачной ( $A_2 = 0$ ), частично отражающей ( $R_2 = \text{const}$ ) и пропускающей ( $D_2 = 1 - R_2$ ) полусферическое излучение в процессе нагрева образца. При нагреве до температуры фазового перехода граница  $i = 2$  становится полупрозрачной и удовлетворяет оптическому условию  $A_i + R_i + D_i = 1$ ,  $i = 2$  при переменных значениях  $A_2$ . При этом предполагается справедливость закона Кирхгофа  $A_2 = \varepsilon_2$ , где  $\varepsilon_2$  — степень черноты границы  $i = 2$ .

На первом этапе решение задачи сводится к исследованию нестационарного радиационно-кондуктивного теплообмена в процессе нагрева плоского образца излучением и конвекцией со стороны границы  $i = 2$ .

На втором этапе при нагреве границы образца до температуры плавления  $T_f$  рассматривается задача Стефана.

В общем случае уравнение сохранения энергии имеет вид

$$c_{ps}\rho_s \frac{\partial T}{\partial t} = c_{ps}\rho_s \frac{\partial T}{\partial x} \frac{\partial x}{\partial t} + \frac{\partial}{\partial x} \left( \lambda_s \frac{\partial T}{\partial x} - E \right), \quad (1)$$

где  $c_{ps}$ ,  $\rho_s$ ,  $\lambda_s$  — теплоемкость, плотность и теплопроводность конденсированной среды;  $E = E(x, t)$  — плотность потока результирующего излучения в сечении  $x$  в момент времени  $t$ , определяемая из решения радиационной задачи методом средних потоков.

При  $\partial x/\partial t = 0$  уравнение (1) используется на первом этапе решения задачи. При этом граничные условия для уравнения (1) имеют вид

$$-\lambda \frac{\partial T}{\partial x} \Big|_{x+\delta} + h_1(T - T_1) \Big|_{x-\delta} + |E_1| = 0, \quad x = 0; \quad (2)$$

$$\lambda_s \frac{\partial T}{\partial x} \Big|_{x-\delta} - h_2(T_2 - T) \Big|_{x+\delta} = 0, \quad x = L_0, \quad (3)$$

где  $h_i$  — коэффициент конвективного теплообмена границ  $i = 1, 2$  с внешней средой при температуре  $T_i$ ,

$$|E_1| = A_1[E^-(x + \delta) + \sigma_0 T_1^4] - \varepsilon_1(1 + n^2)\sigma_0 T^4(x),$$

$E^-(x + \delta)$  — плотность потока излучения, падающего на границу  $x = 0$  со стороны пластины с показателем преломления излучения  $n$ .

На втором этапе решения задачи граничное условие (2) остается неизменным, а граничное условие (3) преобразуется в условие Стефана, при этом согласно условию задачи температура на правой границе фиксируется:

$$\lambda_s \frac{\partial T}{\partial x} \Big|_{x-\delta} - \lambda_l \frac{\partial T}{\partial x} \Big|_{x+\delta} - h_2(T_l - T_2) - |E_2| = \rho_s f \gamma_f \frac{\partial L}{\partial t}, \quad T(x, t) = T_f, \quad x = L(t). \quad (4)$$

Здесь  $\lambda_l$  — теплопроводность расплава, образующегося на внешней поверхности фронта фазового перехода;  $h_2$  — значение коэффициента конвективной теплоотдачи от пленки

расплава при температуре  $T_l = T_f$  в окружающую среду за счет испарения (абляции);  $\gamma_f$  — скрытая теплота фазового перехода.

В уравнении (4) использовано равенство

$$|E_2| = A_2[E^+(x - \delta) + E^*(x + \delta)] - \varepsilon_2(1 + n^2)E_b(T_f), \quad x = L(t), \quad (5)$$

где  $E^+(x - \delta)$ ,  $E^*(x + \delta)$  — плотность потоков излучения, падающих на плоскость сечения  $x$  со стороны пластины и внешнего источника соответственно;  $E_b(T_f)$  — плотность потока равновесного излучения при температуре  $T_f$  (температура фазового перехода первого рода).

В соответствии с классическим подходом к решению однофазной задачи Стефана [1] полагаем, что суммарное значение результирующего потока на внешней поверхности тождественно равно нулю:

$$q^\Sigma(x + \delta) = 0, \quad x = L(t). \quad (6)$$

При этом

$$q^\Sigma(x + \delta) = \lambda_l \frac{\partial T}{\partial x} \Big|_{x+\delta} - E_{res,2}(x + \delta) - h_2(T_l - T_2) \Big|_{x+\delta}, \quad (7)$$

где  $E_{res,2}(x + \delta)$  — плотность потока результирующего излучения на внешней поверхности, которая с учетом проницаемости границы  $x$  определяется выражением

$$-E_{res,2}(x + \delta) = (A_2 + D_2)E^*(x + \delta) - \varepsilon_2\sigma_0T_f^4 - D_2E^+(x - \delta). \quad (8)$$

Учитывая выражение для объемной плотности потока результирующего излучения [5]

$$|E_2| = E_{res,2}(x - \delta) - E_{res,2}(x + \delta), \quad (9)$$

а также формулы (5), (7), (8), условие Стефана на правой границе пластины можно записать в виде

$$\lambda_s \frac{\partial T}{\partial x} \Big|_{x-\delta} - (A_2 + D_2)E^+(x - \delta) + D_2E^*(x + \delta) + \varepsilon_2n^2\sigma_0T_f^4 = \rho_{sf}\gamma_f \frac{\partial L}{\partial t}, \quad (10)$$

$$T(x - \delta) = T_f, \quad T(x + \delta) = T_l, \quad T_l = T_f.$$

Система уравнений (1)–(3) на первом этапе дополняется начальным условием

$$T(x, t) = T_1 = \text{const}, \quad t = 0, \quad (11)$$

а система уравнений (1), (2), (5) на втором этапе — начальным условием

$$T(x, t) = f(x), \quad L(t) = L_0, \quad t = 0. \quad (12)$$

**Метод решения.** С использованием переменной  $\xi = x/L(t)$ ,  $0 \leq \xi \leq 1$ , позволяющей фиксировать координату фронта фазового перехода [6], краевую задачу (1), (2), (10), (12) можно преобразовать к виду

$$\frac{\partial \theta(\xi, \eta)}{\partial \eta} = \xi \frac{\dot{s}}{s} \frac{\partial \theta(\xi, \eta)}{\partial \xi} + \frac{1}{s^2} \frac{\partial^2 \theta(\xi, \eta)}{\partial \xi^2} - \frac{1}{sN} \frac{\partial \Phi(\xi, \eta)}{\partial \xi}, \quad 0 \leq \xi \leq 1; \quad (13)$$

$$-\frac{\partial \theta(0, \eta)}{\partial \xi} + s \text{Bi}_1(\theta(0, \eta) - \theta_1) - \frac{A_1 s}{N} \left( \Phi^- + \frac{\theta_1^4}{4} - \frac{1 + n^2}{4} \theta^4(0, \eta) \right) = 0, \quad \theta(1, \eta) = 1; \quad (14)$$

$$\frac{\partial \theta(1, \eta)}{\partial \xi} - \frac{s}{N} \left( (A_2 + D_2)\Phi^+(1, \eta) - D_2\Phi^* + \varepsilon_2 n^2 \frac{\theta^4(1, \eta)}{4} \right) = \frac{s\dot{s}}{\text{St}}; \quad (15)$$

$$\theta(\xi, 0) = f(\xi), \quad s(0) = 1, \quad (16)$$

где  $\theta = T/T_r$ ;  $\xi = x/L(t)$ ;  $s(\eta) = L(t)/L_0$ ;  $\eta = \lambda_s t / (\rho_s c_{ps} L_0^2)$ ;  $N = \lambda_s / (4\sigma_0 T_r^3 L_0)$  — радиационно-кондуктивный параметр;  $\Phi^\pm(\xi, \eta) = E^\pm(x, t) / (4\sigma_0 T_r^4)$  — безразмерная плотность потока излучения;  $\Phi^* = E^* / (4\sigma_0 T_r^4)$  — безразмерная плотность потока излучения, падающего на пластину справа;  $\text{Bi}_1 = h_1 L_0 / \lambda_s$  — число Био;  $\dot{s} = ds/d\eta$  — скорость распространения фронта плавления;  $\text{St} = T_r c_{ps} / \gamma_f$  — число Стефана;  $T_r = T_f$  — определяющая температура, равная температуре фазового перехода;  $\sigma_0$  — постоянная Стефана — Больцмана.

Уравнение энергии и краевая задача, описывающая этап нагрева пластины, в новых переменных ( $\xi = x/L_0$ ,  $\dot{s} = 0$ ,  $s(t) = \text{const} = 1$ ) имеют вид

$$\begin{aligned} \frac{\partial \theta(\xi, \eta)}{\partial \eta} &= \frac{\partial^2 \theta(\xi, \eta)}{\partial \xi^2} - \frac{1}{N} \frac{\partial \Phi(\xi, \eta)}{\partial \xi}, \quad 0 \leq \xi \leq 1, \\ -\frac{\partial \theta(0, \eta)}{\partial \xi} + \text{Bi}_1 (\theta(0, \eta) - \theta_1) - \frac{A_1}{N} \left( \Phi^- + \frac{\theta_1^4}{4} - \frac{1+n^2}{4} \theta^4(0, \eta) \right) &= 0, \\ \frac{\partial \theta(1, \eta)}{\partial \xi} - \text{Bi}_2 (\theta_2 - \theta(1, \eta)) &= 0, \quad \theta(\xi, 0) = \theta_1. \end{aligned}$$

Входящие в уравнение (13) безразмерная плотность потока результирующего излучения  $\Phi \equiv \Phi^+ - \Phi^-$  и значения  $\Phi^\pm$  определяются из решения уравнения переноса излучения в плоском слое излучающей и поглощающей среды при известном распределении температуры в слое. При этом с использованием модифицированного метода средних потоков [7] уравнение переноса излучения сводится к системе двух нелинейных дифференциальных уравнений излучения для плоского слоя среды.

Дифференциальный аналог уравнения переноса излучения для полусферических потоков  $\Phi^\pm$  записывается в виде

$$\begin{aligned} \frac{d}{d\tau} (\Phi^+(\tau, \eta) - \Phi^-(\tau, \eta)) + m^+(\tau) \Phi^+(\tau, \eta) - m^-(\tau) \Phi^-(\tau, \eta) &= n^2 \Phi_0, \\ \frac{d}{d\tau} (m^+(\tau) l^+(\tau) \Phi^+(\tau, \eta) - m^-(\tau) l^-(\tau) \Phi^-(\tau, \eta)) + \Phi^+(\tau, \eta) - \Phi^-(\tau, \eta) &= 0, \end{aligned} \quad (17)$$

где  $\Phi_0$  — безразмерное значение плотности потока равновесного излучения;  $m^\pm$ ,  $l^\pm$  — кинетические коэффициенты, определяемые из рекуррентного соотношения, полученного в результате формального решения уравнения переноса излучения [7].

Граничные условия на диффузно отражающих, пропускающих и частично поглощающих (излучающих) поверхностях определяются следующим образом [3]:

$$\begin{aligned} \Phi^+(0, \eta) &= A_1 n^2 \frac{\theta^4(0, \eta)}{4} + D_1 \frac{\theta_1^4}{4} + \left( 1 - \frac{1 - R_1}{n^2} \right) \Phi^-(0, \eta), \\ \Phi^-(1, \eta) &= \varepsilon_2 n^2 \frac{\theta^4(1, \eta)}{4} + D_2 \Phi^* + \left( 1 - \frac{1 - R_2}{n^2} - A_2 \frac{1 + n^2}{n^2} \right) \Phi^+(1, \eta). \end{aligned} \quad (18)$$

Здесь  $A_2 = \varepsilon_2 = 0$ , если рассматривается этап нагрева образца. В уравнениях (17), (18) используются определения

$$\Phi^\pm(\tau, \eta) = \frac{2\pi}{4\sigma_0 T_r^4} \int_{0^{(-1)}}^{1^{(0)}} I(\tau, \mu) \mu d\mu,$$

где  $I$  — интенсивность излучения;  $\mu$  — косинус угла между направлением распространения излучения и осью  $x$ ;  $\tau = \alpha L(t)$  — оптическая толщина слоя в момент времени  $t$ .

Решение краевой задачи сводится к определению температуры  $\theta(\xi, \eta)$  и плотностей потоков результирующего излучения  $\Phi(\xi, \eta)$  в области  $G\{0 \leq \xi \leq 1; 0 \leq \eta \leq \eta_1\}$ , представляющей собой слой конденсированной фазы. Координата фронта фазового перехода  $s(\eta)$  меняется в диапазоне от 1 до 0. Краевая задача решается конечно-разностным методом, нелинейная система неявных разностных уравнений — методом прогонки и итераций. При решении радиационной задачи используются итерации, на каждом шаге которых краевая задача (17), (18) решается методом матричной факторизации. Быстрая сходимость данного метода решения позволяет получать результаты с высокой степенью точности.

**Анализ результатов решения.** При численном моделировании определены поля температур и плотностей потоков излучения, а также исследована динамика толщины слоя серой полупрозрачной среды в зависимости от поглощательной способности фронта плавления. Теплофизические свойства материала образца близки к свойствам стекла: плотность  $\rho_s = 2000 \text{ кг/м}^3$ , теплопроводность  $\lambda_s = 1 \text{ Вт/(м} \cdot \text{К)}$ , температуропроводность  $a_s = 10^{-6} \text{ м}^2/\text{с}$ , температура плавления  $T_f = 1000 \text{ К}$ , скрытая теплота фазового перехода  $\gamma_f = 500 \text{ кДж/кг}$ , показатель преломления  $n = 1,5$ , коэффициент объемного поглощения излучения в материале образца  $\alpha = 10 \text{ м}^{-1}$ . Начальная толщина образца  $L_0 = 0,1 \text{ м}$  и начальная оптическая толщина  $\tau_0 = \alpha L_0 = 1$  соответствуют оптимальному объемному взаимодействию излучения с материалом образца. Плотность потока излучения  $E^* = 200 \text{ кВт/м}^2$ , температура среды вблизи левой границы  $T_1 = 300 \text{ К}$ , температура газа вблизи правой границы образца (со стороны источника излучения)  $T_2 = 900 \text{ К}$  (меньше  $T_f$ ). Поскольку левая граница является черной ( $\varepsilon_1 = A_1 = 1$ ), для стабилизации процесса теплообмена в пластине коэффициент теплоотдачи на этой границе полагаем равным  $h_1 = 200 \text{ Вт/(м}^2 \cdot \text{К)}$ . На правой границе поддерживается температура плавления и отсутствует внешний результирующий радиационно-кондуктивный поток тепловой энергии (условие классической однофазной задачи Стефана). Коэффициент отражения на правой границе  $R_2 = 0,1$ . При моделировании процессов радиационно-кондуктивного теплообмена на стадии нагрева образца излучательную (поглощательную) способность правой границы полагаем равной  $\varepsilon_2 = A_2 = 0$ . При решении задачи Стефана излучательная (поглощательная) способность облучаемой правой границы, на которой происходит фазовый переход, меняется в диапазоне  $\varepsilon_2 = A_2 = 0,1 \div 0,5$ . Это позволяет моделировать ситуацию, при которой меняются оптические свойства поверхностных слоев материала, претерпевающего фазовые переходы первого рода.

На рис. 1 представлены поля температуры и плотности радиационных потоков в полупрозрачном слое в процессе фазового перехода при  $\varepsilon_2 = 0,1$ . Отмечается существенная неравномерность распределения температуры в слое конденсированной фазы, обусловленная большим значением потока излучения, проникающего в слой, существенной пропускающей способностью правой границы ( $D_2 = 1 - \varepsilon_2 - R_2 = 0,8$ ) и интенсивным конвективным теплоотводом на левой границе слоя. Наблюдается перегрев примыкающей к фронту фазового перехода конденсированной среды, максимальное значение которого имеет место при  $s = 0,5$ .

Результирующие потоки излучения (см. рис. 1, б) изменяются от отрицательных значений, характеризующих объемное излучение, до положительных значений, характеризующих объемное поглощение в процессе фазового перехода.

На рис. 2, а приведены результаты расчетов температуры при нагреве пластины с черной левой границей и прозрачной правой, а также в процессе фазового перехода при  $\varepsilon_2 = 0,3$ . Видно, что нагрев пластины осуществляется в течение более длительного времени, а фазовый переход происходит при меньшем перегреве среды вследствие перераспределения радиационных и кондуктивных потоков (рис. 2, б) при увеличении степени черноты фазового перехода.

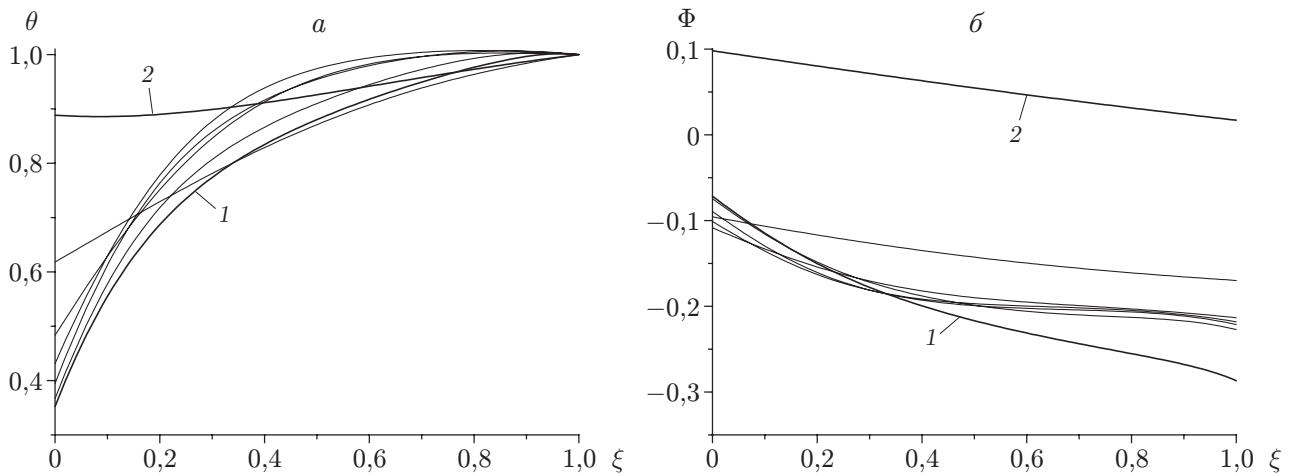


Рис. 1. Распределения температуры (а) и плотности результирующего радиационного потока (б) в процессе фазового перехода при  $\varepsilon_2 = 0,1$ :

1 — начало процесса, 2 — окончание процесса

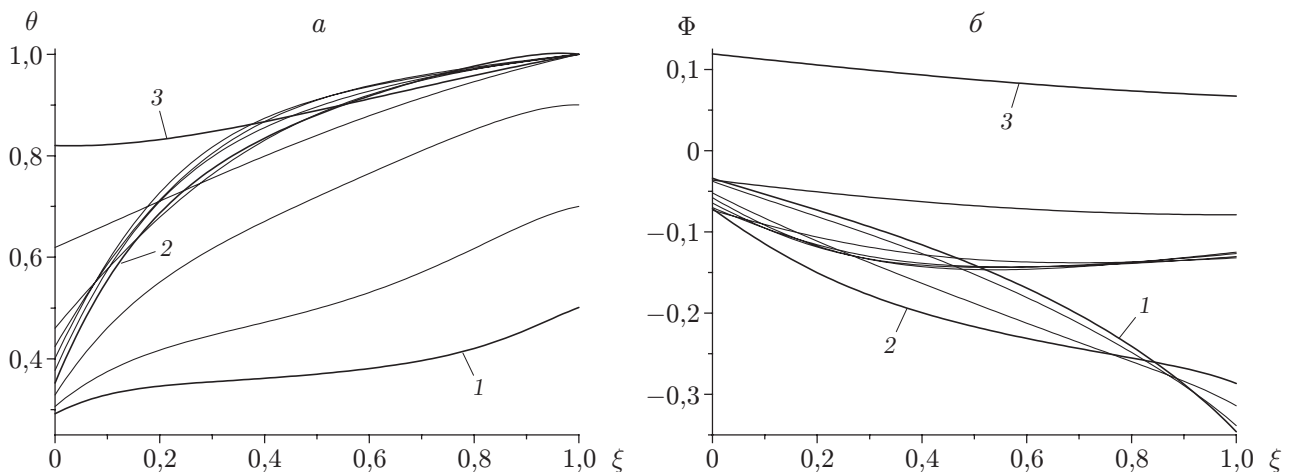


Рис. 2. Распределения температуры (а) и плотности результирующего радиационного потока (б) на этапе нагрева с последующим фазовым переходом при  $\varepsilon_2 = 0,3$ :

1 — начало процесса нагрева, 2 — начало процесса фазового перехода, 3 — окончание процесса фазового перехода

При увеличении степени черноты фронта фазового перехода до значения  $\varepsilon_2 = 0,5$  в процессе фазового перехода преобладает влияние теплового излучения границ слоя как на температуру (рис. 3,а), так и на радиационный поток (рис. 3,б). Однако на заключительном этапе плавления пластины, когда оптическая толщина слоя стремится к нулю, основное влияние на распределение температуры оказывает теплопроводность (кривая 2 на рис. 3,а).

Основными характеристиками процесса нагрева и фазового перехода являются изменение температуры на левой неподвижной абсолютно черной конвективно охлаждаемой внешней средой границе и перемещение фронта фазового перехода (рис. 4). Процесс нагрева пластины характеризуется линейным во времени увеличением температуры на левой границе. Однако с момента начала фазового перехода даже незначительное увеличение

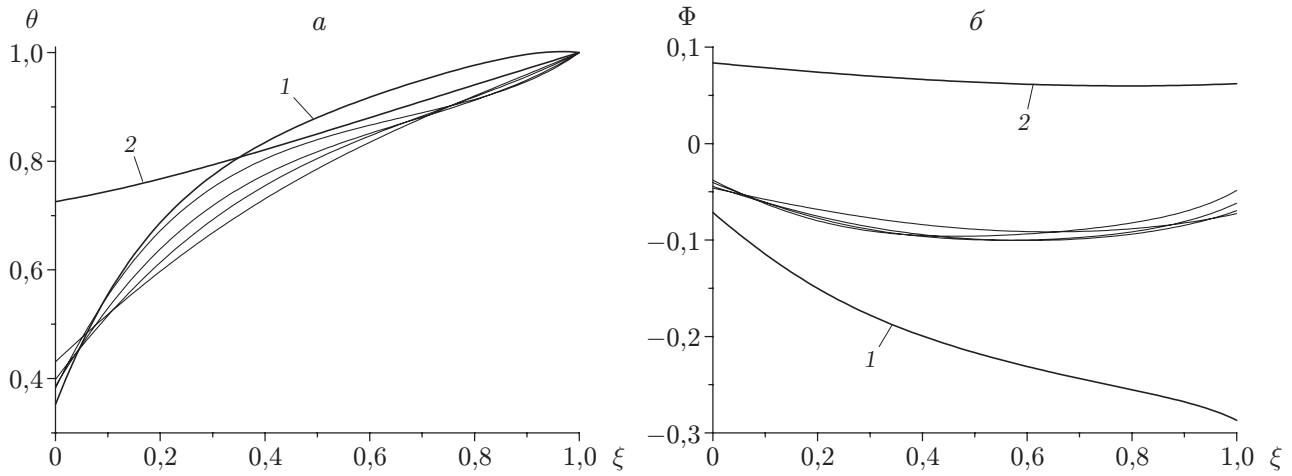


Рис. 3. Распределения температуры (а) и плотности результирующего радиационного потока (б) в процессе фазового перехода при  $\varepsilon_2 = 0,5$ :

1 — начало процесса, 2 — окончание процесса

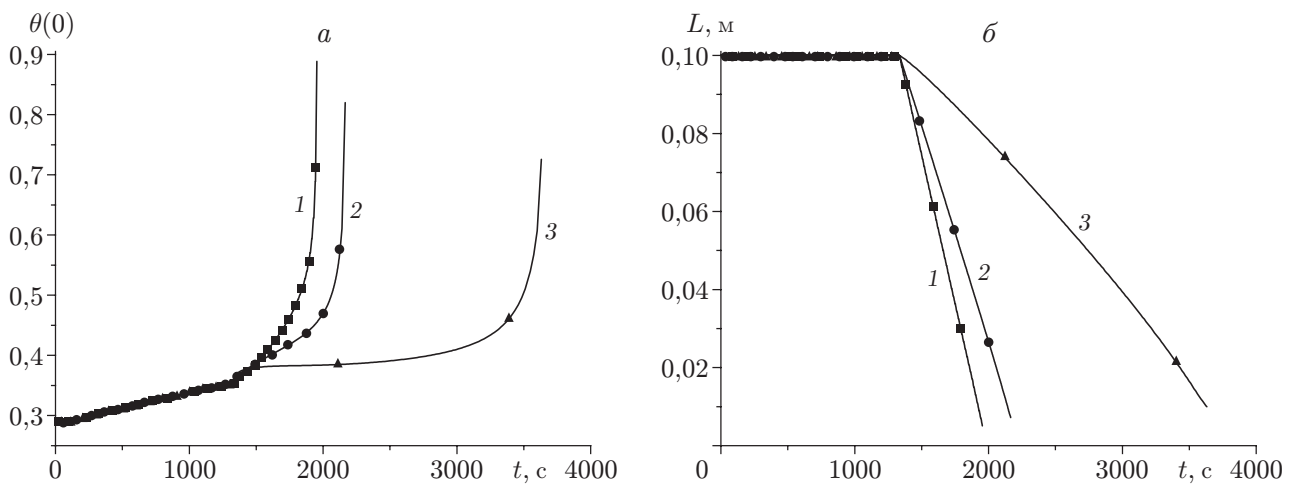


Рис. 4. Зависимости температуры на левой черной границе (а) и координаты фронта фазового перехода (б) от времени при различных значениях  $\varepsilon_2$ :

1 —  $\varepsilon_2 = 0,1$ , 2 —  $\varepsilon_2 = 0,3$ , 3 —  $\varepsilon_2 = 0,5$

степени черноты фронта ( $\varepsilon_2 = 0,1$ ) приводит к резкому, нелинейному во времени росту температуры на левой границе (см. рис. 4,а).

Анализ изменения (уменьшения) размера пластины в процессе фазового перехода (см. рис. 4,б) показывает, что процесс нагрева (горизонтальные участки кривых 1–3 на рис. 4,б) происходит в течение более длительного времени по сравнению с процессом полного плавления пластины при  $\varepsilon_2 \leq 0,5$ . При этом с увеличением значений  $\varepsilon_2$  отмечается замедление процессов фазового перехода.

Представленные результаты расчетов общего времени фазового перехода качественно согласуются с результатами, полученными в [2] в случае абсолютно черных границ полупрозрачного слоя. При этом время процесса на порядок меньше значений, полученных в работе [3], в которой рассматривались неравновесные условия теплообмена на внешней поверхности фронта фазового перехода.

**Выводы.** Показана применимость решения классической однофазной задачи Стефана для слоя полупрозрачной среды с абсолютно черной неподвижной левой границей и поглощающей (пропускающей) подвижной правой границей, на которой происходит равновесный фазовый переход первого рода.

Установлено, что время нагрева существенно больше времени полного фазового превращения. Показано, что результаты расчетов общего времени нагрева и полного плавления полупрозрачного слоя, границы которого имеют произвольные оптические свойства, согласуются с результатами расчетов [2] в случае, когда полупрозрачный слой находится между абсолютно черными границами. Таким образом, допущение о равновесном характере фазового перехода является определяющим условием классической задачи Стефана и в квазиравновесных условиях позволяет определить наименьшее время фазового перехода в полупрозрачном материале.

#### ЛИТЕРАТУРА

1. **Мейрманов А. М.** Задача Стефана. Новосибирск: Наука. Сиб. отд-ние, 1986.
2. **Le Dez V., Yousefian F., Vaillon R., et al.** Problem de Stefan direct dans un milieu semitransparent gris // J. Phys. France. Ser. 3. 1996. V. 6. P. 373–390.
3. **Рубцов Н. А., Слепцов С. Д.** Радиационно-кондуктивный теплообмен в полупрозрачной среде с фазовым переходом на границах разной поглощательной способности // Теплофизика и аэромеханика. 2010. Т. 17, № 2. С. 237–245.
4. **Рубцов Н. А., Слепцов С. Д.** Моделирование радиационно-кондуктивного теплообмена в слое полупрозрачной среды в приближении классического решения однофазной задачи Стефана // Теплофизика и аэромеханика. 2011. Т. 18, № 3. С. 475–483.
5. **Рубцов Н. А.** К решению однофазной задачи Стефана в слое полупрозрачного материала // Теплофизика и аэромеханика. 2005. Т. 12, № 3. С. 471–482.
6. **Landau H. G.** Heat conduction in a melting solid // Quart. Appl. Math. 1950. V. 8. P. 81–94.
7. **Рубцов Н. А.** Комбинированный теплообмен в полупрозрачных средах / Н. А. Рубцов, А. М. Тимофеев, Н. А. Саввинова. Новосибирск: Изд-во СО РАН, 2003.

*Поступила в редакцию 17/1 2012 г.*